

ФИЗИКО-ХИМИЧЕСКИЕ ПРОЦЕССЫ
НА МЕЖФАЗНЫХ ГРАНИЦАХ

УДК 546.04+544.726

СИНТЕЗ И СОРБЦИОННЫЕ СВОЙСТВА АЛЮМОСИЛИКАТА
ЛИТИЕВОЙ ФОРМЫ

© 2023 г. П. С. Гордиенко^a, Е. В. Пашнина^a, С. Б. Ярусова^{a, b, *}, Е. А. Нехлюдова^{a, b},
И. Г. Жевтун^a, И. А. Шабалин^a, Н. В. Зарубина^c, С. Ю. Будницкий^c, В. Г. Курявый^a

^aИнститут химии Дальневосточного отделения Российской академии наук,
пр. 100-летия Владивостока, 159, Владивосток, 690022 Россия

^bВладивостокский государственный университет, ул. Гоголя, 41, Владивосток, 690014 Россия

^cДальневосточный геологический институт ДВО РАН,
пр. 100-летия Владивостока, 159, Владивосток, 690022 Россия

*e-mail: yarusova_10@mail.ru

Поступила в редакцию 17.04.2023 г.

После доработки 17.06.2023 г.

Принята к публикации 17.06.2023 г.

В работе приведены данные по синтезу наноструктурированного, рентгеноаморфного алюмосиликата лития, с соотношением Si : Al, равным 3 : 1. Исследован состав, морфология, термическое поведение. Получена изотерма сорбции ионов Cs⁺ в статических условиях при соотношении T : X = 1 : 400. Определена максимальная сорбционная емкость, степень извлечения и коэффициенты распределения цезия. Получены данные по кинетике сорбции ионов Cs⁺ при температурах 30 и 60°C, рассчитана энергия активации процесса сорбции и коэффициенты диффузии.

Ключевые слова: алюмосиликат лития, синтез, сорбционные свойства, цезий, кинетика, энергия активации, коэффициенты диффузии

DOI: 10.31857/S0044185623700638, **EDN:** VFZUOA

ВВЕДЕНИЕ

Эффективное решение экологических проблем, связанных с очисткой, прежде всего, водных акваторий, от долгоживущих радиоизотопов цезия, стронция и ряда тяжелых металлов, предполагает активный поиск, как новых видов материалов, так и синтез сорбентов известного класса, но при условиях, позволяющих получать материал заданного состава, с определенной дисперсностью, с улучшенными функциональными свойствами. Актуальность подобных исследований стала очевидной в связи с рядом экологических катастроф, произошедших на атомных электростанциях и предприятиях по переработке ядерных материалов с середины 60-х гг. прошлого века и до настоящего времени.

Современный атомный энергетический цикл производства электроэнергии нуждается в высокоэффективных сорбентах радионуклидов, матрицах на их основе, обладающих комплексом физико-химических и механических характеристик: высокой устойчивостью, как к механическим нагрузкам, так и высокой химической и радиационной стойкостью в различных средах в условиях длительного захоронения высокоактивных ядерных отходов. Силикаты и алюмосиликаты удовлетворяют таким требованиям, поэтому относятся к

востребованным природным и синтетическим минералам, широко применяемым в качестве сорбентов токсичных веществ в жидких и газовых средах, в качестве катализаторов, в производстве различных видов углеводородов, в медицине и т.д. [1–4]. Природные и синтетические алюмосиликаты (цеолиты, глины), а также композиционные материалы, созданные с их использованием, занимают особое место среди неорганических материалов для извлечения радионуклидов ⁹⁰Sr, ¹³⁷Cs и других изотопов из технологических вод [5–9].

Ранее в Институте химии Дальневосточного отделения Российской академии наук из водных многокомпонентных систем были синтезированы наноструктурированные алюмосиликаты щелочных и щелочноземельных металлов с удельной поверхностью 30–300 м² г⁻¹ и высокими значениями сорбционной емкости по отношению к ионам Cs⁺ и Sr²⁺. Были исследованы такие классы соединений как алюмосиликаты калия и натрия Me_xAl_ySi_zO_(2y+2x)·nH₂O (где Me = K⁺, Na⁺), алюмосиликаты и силикаты кальция и бария (MeAl₂Si_nO_{(n+2)2}·mH₂O; MeO·nSiO₂·mH₂O (где Me = Ca²⁺, Ba²⁺) [10–16].

С учетом ранее полученных результатов по синтезу и сорбционным характеристикам синте-

тического соединения $KAlSi_3O_8 \cdot 1.5H_2O$ [10], методом искрового плазменного спекания был осуществлен синтез твердотельных матриц на основе аморфного $KAlSi_3O_8 \cdot 1.5H_2O$ и алюмосиликата калия из растительных отходов, насыщенных цезием, для иммобилизации цезия-137. Впервые получены образцы твердотельных матриц на основе $((Cs,K)AlSi_3O_8)$ с высокими значениями относительной плотности, прочности при сжатии и микротвердости по Виккерсу. Была доказана их высокая гидролитическая устойчивость (в пределах 10^{-7} г cm^{-2} сут $^{-1}$) и низкий коэффициент диффузии D_e цезия при выщелачивании из объема матриц (в пределах) 7.36×10^{-9} и 9.07×10^{-14} cm^2 с $^{-1}$ для модельной $((Cs,K)AlSi_3O_8)$ – матрицы и $RS-(K,Cs)AlSi_3O_8$ – матрицы (из рисовой соломы), соответственно. Подтверждено высокое качество полученных изделий в соответствии с ГОСТ Р 50926-96 и существующими аналогами, что представляет практический интерес для технологий очистки и переработки РАО и создания радиоизотопной продукции [17, 18].

В связи с тем, чтоnanoструктурированные алюмосиликаты щелочных и щелочноземельных металлов имеют высокие значения сорбционной емкости по отношению к ионам цезия, нами было сделано предположение об эффективности использования алюмосиликатов лития. При этом следует отметить, что основная доля литературы по силикатам лития посвящена вопросам синтеза данных соединений и их применению в процессах получения, например, литиевой алюмосиликатной стеклокерамики, литиевых ионных сит для извлечения лития из низкосортных рассолов, сорбентов CO_2 и т.д. [19–23].

Целью данной работы является синтез и исследование состава, морфологии, термического поведения и сорбционных свойств в статических условиях nanoструктурированного алюмосиликата лития с соотношением Si/Al, равным 3 : 1, по отношению к ионам цезия.

ЭКСПЕРИМЕНТАЛЬНАЯ ЧАСТЬ

Синтез алюмосиликата лития

Синтез алюмосиликата литиевой формы с заданным соотношением Si/Al проводили согласно реакции:



На первом этапе было получено жидкое литиевое стекло с силикатным модулем, равным 1.5:



Затем в полученный раствор при постоянном перемешивании добавляли раствор хлорида алюминия.

Соотношение компонентов соответствовало уравнению (1), а pH раствора при окончании процесса синтеза соответствовало нейтральному значению (pH 7). Для синтеза были взяты реагенты: гидроксид лития (ГОСТ 8595-83), мелкодисперсный кремнезем (микрокремнезем конденсированный ТУ 5743-048-02495332-96) марки МКУ-85 и алюминий хлористый 6-водный марки “х. ч.” (ТУ СТП КОМП 2-191-10). Гидроксид лития растворяли в дистиллированной воде, которую предварительно кипятили для удаления молекул растворенного CO_2 , чтобы предотвратить образование карбоната лития.

Полученный осадок алюмосиликата лития отделяли от раствора через фильтр “синяя лента”, промывали дистиллированной водой до отрицательной реакции на хлор-ионы и сушили при температуре 110°C.

Опыты по сорбции ионов Cs^+

Опыты по сорбции ионов Cs^+ проводили в статических условиях при соотношении твердой и жидкой фаз, равном 1 : 400, и температуре 20°C из водных растворов хлорида цезия без солевого фона с различными начальными концентрациями ионов Cs^+ от 0.5 до 106.8 ммоль л $^{-1}$ при перемешивании на магнитной мешалке RT 15 power (IKA WERKE, ФРГ) в течение 3 ч.

Опыты по кинетике сорбции ионов Cs^+ проводили в статических условиях при соотношении твердой и жидкой фаз, равном 1 : 400, и температурах 30 и 60°C из водных растворов хлорида цезия без солевого фона с начальной концентрацией ионов Cs^+ 3.35 мг л $^{-1}$ в интервале от 3 до 20 мин.

Методы анализа

Рентгенограммы образцов снимали на автоматическом дифрактометре D8 ADVANCE (Германия) с вращением образца в CuK_{α} -излучении. Рентгенофазовый анализ (РФА) проводили с использованием программы поиска EVA с банком порошковых данных PDF-2.

Для количественного определения элементного состава синтезированных алюмосиликатов применен энергодисперсионный рентгенофлуоресцентный метод с использованием спектрометра Shimadzu EDX 800 HS (Япония). Навеску образца растирали в агатовой ступке с борной кислотой (2 : 1 по весу) и помещали в пресс-форму диаметром 20 мм. Таблетку-излучатель прессовали в течение 2 мин при давлении 5000 кг, после чего помещали в спектрометр и проводили измерения. Время экспозиции 100 с в каждом энергетическом канале, источник излучения рентгеновская трубка с Rh-анодом, расчет концентрации элементов производили по методу фундаментальных параметров с помощью программного комплекса спектрометра без учета легких элемен-

тов. Относительная погрешность определения элементного состава не превышала $\pm 10\%$.

Содержание лития в образце определяли с помощью метода масс-спектрометрии с индуктивно связанный плазмой (ИСП-МС) с последующим пересчетом на мольное содержание. Для предварительного перевода образца в растворимое состояние навеску вещества обрабатывали горячим раствором плавиковой кислоты для удаления кремния в виде SiF_4 . Далее раствор мокрых солей фторида лития (LiF) и фторида алюминия (AlF_3) кипятили в растворе 1н соляной кислоты для перевода фторидов в растворимые соли AlCl_3 и LiCl , а также удаления следов фтора из раствора. Далее растворы переносили в мерные полипропиленовые колбы для последующего анализа методом ИСП-МС.

Термогравиметрический анализ проводили с использованием дериватографа Q-1500 D системы Ф. Паулик, П. Паулик, Л. Эрдеи фирмы "МОМ" (Венгрия) (точность определения температуры $\pm 5^\circ\text{C}$), при обжиге образцов до 900°C при скорости $10^\circ\text{C}/\text{мин}$ в открытом платиновом тигле на воздухе.

Удельную поверхность образцов определяли методом низкотемпературной адсорбции азота с использованием прибора "Сорбтометр-М" (Россия).

Плотность алюмосиликатов определяли с помощью пикнометра.

Изучение морфологии образцов проводили на сканирующем электронном микроскопе высокого разрешения HitachiS5500 (Япония). Перед съемкой образцы покрывали проводящим слоем пластины. Съемку проводили при ускоряющем напряжении 7 кВ и вакууме 10^{-5} мм ртутного столба.

Определение концентрации ионов Li^+ и Cs^+ цезия в анализируемых растворах выполняли методом ИСП-МС на спектрометре Agilent 8800 (Agilent Technologies, U.S.A., 2013) с относительной погрешностью не более 10%. Перед выполнением измерений растворы разбавляли в 100 раз. Для анализа были выбраны следующие аналитические изотопы: ${}^7\text{Li}$ и ${}^{133}\text{Cs}$.

Для градуирования прибора использовали многоэлементный сертифицированный раствор ICP-MS Verification Standard E (High Purity Standards, U.S.A.). Предел ИСП-МС определения (ПО) для Li 0.07 мкг dm^{-3} , для Cs – 0.03 мкг dm^{-3} .

Сорбционную емкость (A_c , ммоль g^{-1}) исследуемых образцов рассчитывали по формуле:

$$A_c = \frac{(C_{\text{исх}} - C_p)}{m} V, \quad (3)$$

где $C_{\text{исх}}$ – исходная концентрация ионов Cs^+ в растворе, ммоль l^{-1} ; C_p – равновесная концентрация ионов Cs^+ в растворе, ммоль l^{-1} ; V – объем раствора, л; m – масса сорбента, г.

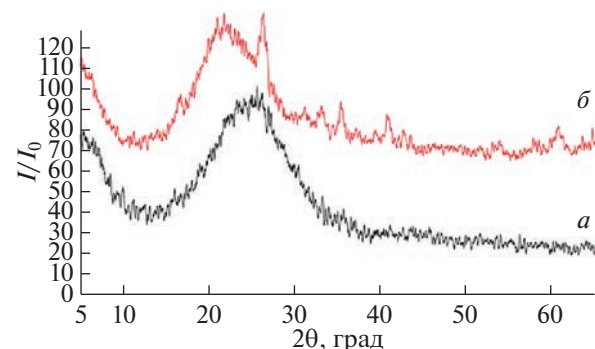


Рис. 1. Дифрактограмма образца алюмосиликата лития: (а) исходный образец после сушки при температуре 110°C , (б) образец после обжига при 1000°C .

Степень извлечения ионов Cs^+ (α , %) рассчитывали по формуле:

$$\alpha = \frac{(C_{\text{исх}} - C_p)}{C_{\text{исх}}} \times 100\%. \quad (4)$$

Коэффициент межфазного распределения (K_d , мл g^{-1}) определяли следующим образом:

$$K_d = \frac{(C_{\text{исх}} - C_p)V}{C_p m}. \quad (5)$$

РЕЗУЛЬТАТЫ И ИХ ОБСУЖДЕНИЕ

Рентгенофазовый анализ полученного образца до и после обжига (рис. 1) показал, что полученное соединение является рентгеноаморфным, о чем свидетельствует размытый пик, характерный для аморфных веществ в диапазоне углов 15° – 35° . Видно, что при нагреве образца до 1000°C (рис. 1, б) происходит частичная кристаллизация, что сопровождается появлением пиков на рентгенограмме и смещением максимума гало. Но отнести зафиксированные пики к конкретной кристаллической фазе не удалось.

По данным рентгенофлуоресцентного анализа, содержание Si составляет 74.9, а Al – 24.8 (мас. %), то есть фактическое соотношение $\text{Si}/\text{Al} = 3 : 1$, что соответствует заданному соотношению при синтезе (содержание кремния 2.7 моль, алюминия – 0.9 моль). Согласно данным, полученным методом ИСП-МС, содержание лития в образце составляет 4.38 мас. %, что в пересчете на моль, составляет 0.63.

Из представленной на рис. 2 термогравиограммы видно, что процесс постепенной дегидратации синтетического алюмосиликата лития происходит в температурном интервале от 30 до 500°C и характеризуется уширенным эндоэффектом. Удаление адсорбционной воды происходит до 110°C (это довольно условная величина) и сопровождается потерей 15.6% веса. Суммарная потеря веса 37.2%. За вычетом потерь веса, связанных с адсорбцион-

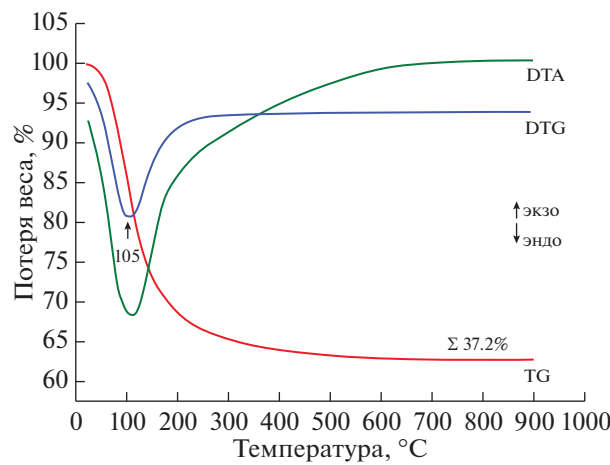


Рис. 2. Термогравиограмма образца алюмосиликата лития.

ной водой, 21.6% потери веса приходится на связанную кристаллизационную воду, что соответствует 4.7 молекулам H_2O . На основании результатов энергодисперсионного рентгенофлуоресцентного метода, метода ИСП-МС и термогравиметрического анализа рассчитана брутто формула полученного соединения: $\text{Li}_{0.63}\text{H}_{0.27}\text{Al}_{0.9}\text{Si}_{2.7}\text{O}_8 \cdot 4.7\text{H}_2\text{O}$.

Удельная поверхность образца $132.0 \text{ м}^2 \text{ г}^{-1}$. Плотность полученного образца 2.5 г см^{-3} .

На рис. 3 приведены СЭМ изображения алюмосиликата лития после сушки (исходный образец).

Алюмосиликат имеет рыхлую слоистую структуру, характерную для глин и глинистых минералов типа каолинит, монтмориллонит, сепиолит, палыгорскит, вермикулит и др. (рис. 3, 4а).

При нагреве исходного образца до 1000°C морфология наблюдаемой поверхности заметно изменяется. Формируются многочисленные поры диаметром не более 20–100 нм (рис. 4б).

Для оценки сорбционных свойств полученную изотерму анализировали в координатах уравнения Ленгмюра и эмпирического уравнения Фрейндлиха.

Уравнение Ленгмюра:

$$\frac{C_p}{A_c} = \frac{1}{A_m k} + \frac{C_p}{A_m}, \quad (6)$$

где C_p – равновесная концентрация ионов Cs^+ в растворе, A_m – максимальная сорбционная емкость, k – константа Ленгмюра.

Константа уравнения была рассчитана из наклона и пересечения прямой на графике в соответствующих координатах линейного уравнения C_p/A_c от C_p : $y = 0.1613x + 6.0617$ ($R^2 = 0.8516$). Найденные параметры уравнения Ленгмюра: $A_m = 6.2 \text{ ммоль г}^{-1}$, $k = 0.03 \text{ л ммоль}^{-1}$. С учетом погрешности измерений концентраций ионов Cs^+ в пределах 10–15% методом ИСП-МС, экспериментальные данные по максимальной сорбционной емкости и рассчитанные по уравнению Ленгмюра одного порядка.

Полученное высокое значение максимальной сорбционной емкости можно объяснить морфологией алюмосиликата лития, высокой удельной поверхностью (более $130 \text{ м}^2 \text{ г}^{-1}$) и высоким химическим сродством цезия и лития.

Зависимость коэффициента межфазного распределения цезия на алюмосиликate лития и степени извлечения ионов Cs^+ от соотношения твердой и жидкой фаз приведена в табл. 1.

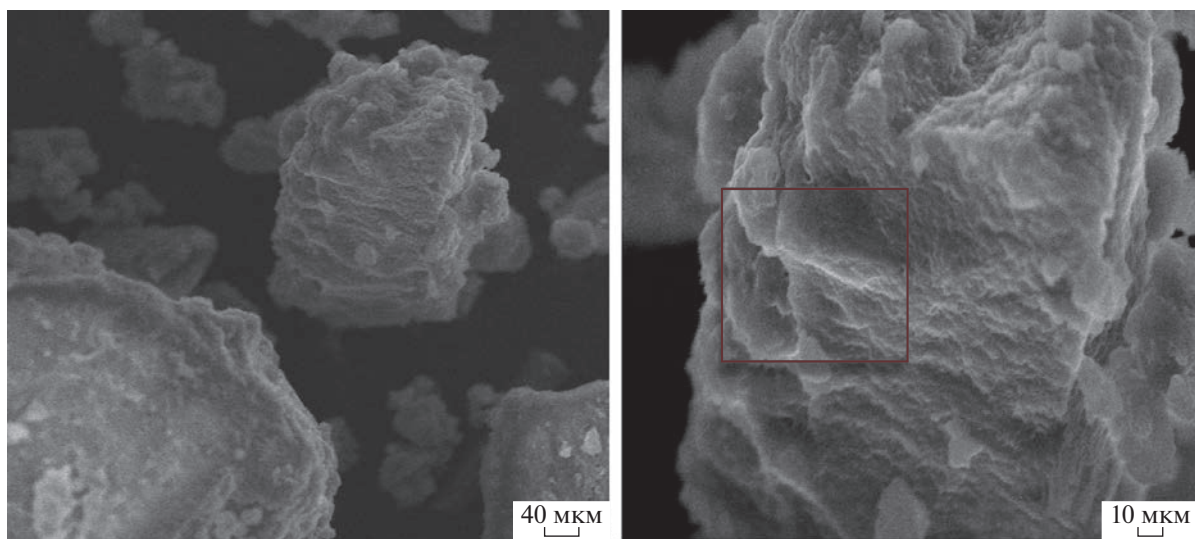


Рис. 3. СЭМ изображения частиц алюмосиликата литиевой формы (исходный образец).

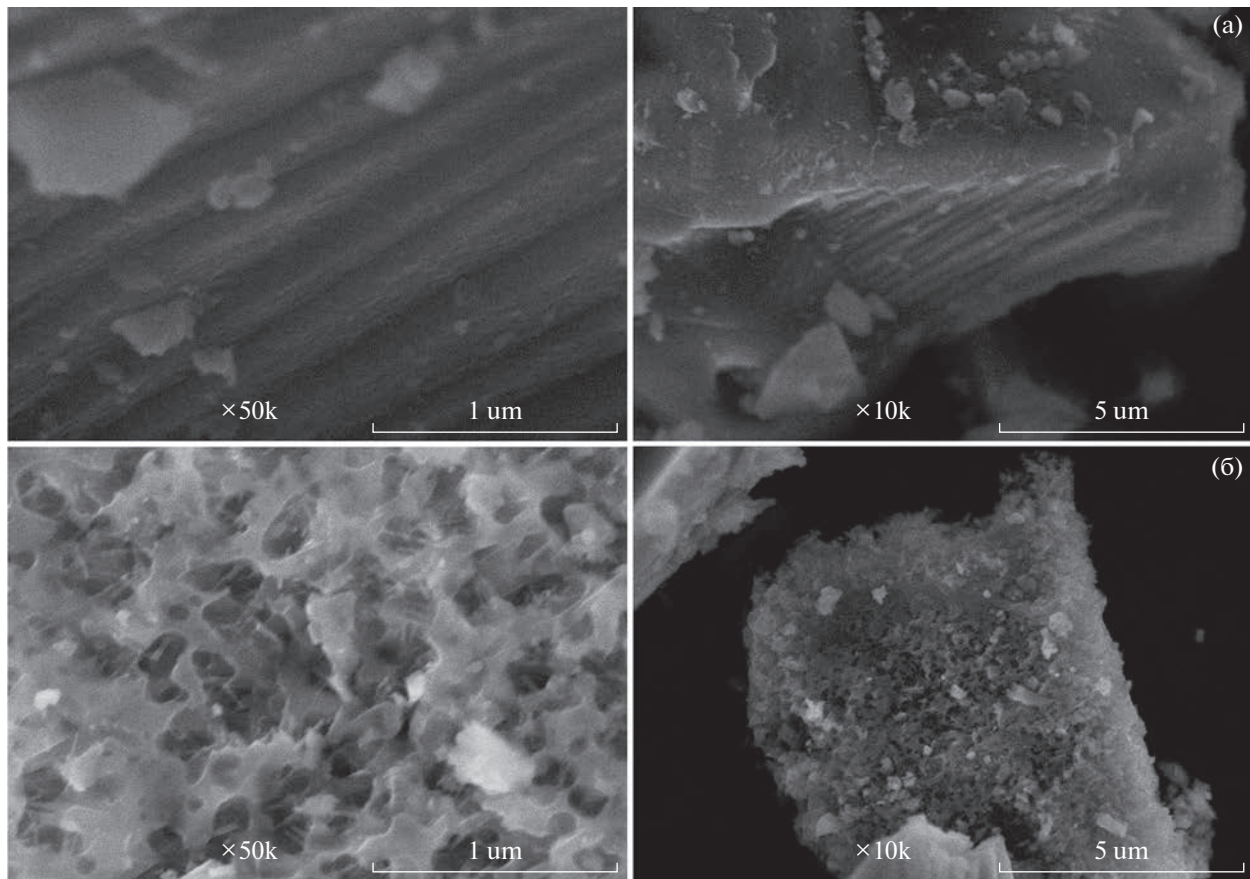


Рис. 4. СЭМ изображения частиц алюмосиликата литиевой формы: (а) исходный образец; (б) после обжига при 1000°C.

Из полученных данных следует, что при $T : Ж = 1 : 40$ степень извлечения ионов Cs^+ достигает 97%, а наибольшее значение коэффициента распределения наблюдается при соотношении $T : Ж = 1 : 2000$ ($K_d 0.74 \times 10^4$ мл г⁻¹). С учетом термохимических свойств сорбента на основе алюмосиликата лития возможно формирование соединений для эффективного извлечения цезия с последующей термомеханической обработкой сорбента с сорбируемым изотопом.

Кинетика процесса сорбции

На рис. 6 приведены кинетические кривые сорбции ионов Cs^+ алюмосиликатом лития при температурах 30 и 60°C.

Как видно из представленных кинетических кривых, сорбционная емкость достигает максимума в течение 10 мин, возрастаая с повышением температуры.

Для описания кинетики топохимических реакций, к которым относятся и исследуемый процесс, использовано уравнение, обоснованное в работе [24]:

$$A_t = A_m kt \frac{1}{1 + kt}, \quad (7)$$

где k – константа, имеющая размерность (время)⁻¹; t – время сорбции; A_t и A_m – текущее и максимальное значение сорбционной емкости.

Для определения константы k и A_m уравнение (7) преобразовано в уравнение прямой вида ($y = a + bx$):

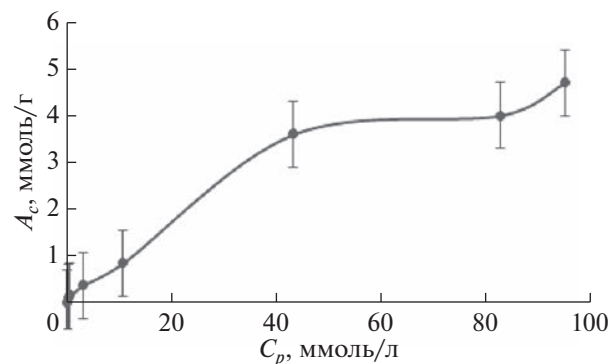


Рис. 5. Изотерма сорбции ионов Cs^+ алюмосиликатом лития.

